

Минералогия, петрология

УДК 549.623+549.903.9(571.5)

Инфильтрация глин в поры и каверны неогеновых базальтов Восточного Саяна

И. С. Чувашова^{1,2}, Р. Алокла^{1,3}, С. В. Рассказов^{1,2}

¹ Иркутский государственный университет, Иркутск

² Институт земной коры СО РАН, Иркутск

³ Университет Алеппо, Алеппо, Сирия

Аннотация. Глинистые миндалины маркируют проникаемые пористые пограничные части базальтовых потоков. Слабое проникновение вод выражается в локальном распространении миндалин смектит-сепиолитового состава с примесью галлуазита и полигорскита. Усиление инфильтрационного эффекта вод с полным заполнением пор и каверн базальтовых слоев таким же глинистым материалом сопровождается вхождением примеси гетита. Зрелая кора выветривания, развитая по неогеновым базальтам, характеризуется смектит-гетитовым составом при отсутствии сепиолита. Предполагается, что скрытая глинистая минерализация проникаемых базальтовых слоев отражается в удревнении датировок в K-Ar изотопной системе и искажении первичных геохимических характеристик пород.

Ключевые слова. Глинистые минералы, смектит, сепиолит, галлуазит, полигорскит, гетит, базальт

Infiltration of clay into pores and cavities of Neogene basalts from Eastern Sayans

I. S. Chuvashova^{1,2}, R. Alokla^{1,3}, S. V. Rasskazov^{1,2}

¹ Irkutsk State University, Irkutsk, Russia

² Institute of Earth's Crust SB RAS, Irkutsk, Russia

³ University of Aleppo, Aleppo, Syria

Abstract. Clay tonsils mark permeable porous boundaries of basaltic flows. Poor penetration of water is expressed in local occurrence of smectite-sepiolite tonsils with admixtures of halloysite and polygorskite. Increasing water infiltration that results in complete filling of pores and cavities in basalts by the same clay minerals is accompanied by the entry of a goethite admixture. Mature weathering crust on basalts is characterized by smectite-goethite composition without sepiolite. The cryptic clay mineralization of permeable basalt layers might result in overestimating ages in K-Ar system and distortion of primary geochemical signatures of the rocks.

Keywords. Clay minerals, smectite, sepiolite, halloysite, polygorskite, goethite, basalt

Введение

Гипергенные процессы, развивающиеся в неогеновых базальтах юга Восточной

Сибири, обычно выражаются в новообразовании арагонита, кальцита, сидерита, монтмориллонита и цеолитов. Оливин замещается боуллингитом или иддингситом,

плагиоклаз — пренитом, вулканическое стекло — палагонит-хлорофентовым веществом (Белов, 1963). Уникальная находка каолинита и гидрагиллита в базальтах, вскрытых скважинами на Еловском отроге Тункинской долины, интерпретировалась как показатель их палеоценового хемогенного латеритного выветривания (Волоколаков, Хлыстов, 1967; Хлыстов, Дехтарева, 1970). Характер распределения новообразованных минералов в предполагаемой коре выветривания по базальтам в цитированных работах, однако, не обозначен. Осталось неясным, действительно ли новообразованные минералы замещали базальтовый субстрат в результате его гипергенного площадного преобразования в условиях палеоценового климатического оптимума или глинистый материал был привнесен в базальты из коры выветривания или осадочного слоя посредством инфильтрации? Если действовал механизм просачивания водных растворов, каолинит и гидрагиллит не могут истолковываться как результат непосредственного развития глинистой минерализации по базальтовому субстрату, а представляют собой переотложенный материал.

В настоящей работе исследуется состав глинистых минералов, отложившихся в порах и кавернах неогеновых базальтов Восточного Саяна. Общая характеристика этих находок приведена в сборнике статей (Рассказов и др., 1991). Глинистый материал миндалин не был производным площадного гипергенного изменения базальтового субстрата на земной поверхности, а служил показателем отложения глинистого вещества водными растворами, присоединившимися между базальтовыми слоями.

1. Аналитические методы

Глинистый материал из базальтов изучался в аналитическом центре Института земной коры СО РАН с использованием четырех методов: рентгеновского, термического анализа, электронной микроскопии и химического анализа.

Рентгеновские исследования состава глин выполнены с использованием камеры РКД 57,3 мм (аналитик З. Ф. Ушаповская).

Термический анализ проведен на дериваторе венгерского производства Q-1500 D системы F. Paulik, J. Paulik, L. Erdey (аналитик Н. В. Нартова). Условия съемки: чувствительность гальванометров ДТА-250; ДТГ-500; ТГ-100, 50; навеска — 140–150 мг; скорость нагрева 10°/мин; инертное вещество — прокаленная окись алюминия. Анализ проводился в платиновых тиглях в воздушной среде. Полученные термограммы сравнивались с опубликованными (Термический..., 1974; Гинзбург, Рукавишникова, 1951; Differential ..., 1970).

Электронно-микроскопические исследования выполнены под электронным микроскопом ЭМВ-100 ЛМ (аналитик Г. А. Тихонова). Материал раздавливается пестиком агатовой ступки в дистиллированной воде. Полученная суспензия обрабатывается ультразвуком в течение 1 мин на диспергаторе УЗДН-2Т. Затем капля устойчивой суспензии наносилась на сетку-объектодержатель с колloidной опорной пленкой. Непосредственного определения состава микрофаз не проводилось, но об их составе можно было судить по аналогии с известными определениями характерных форм микрочастиц.

Химический состав глинистого материала и вмещающих вулканических пород определялся методом «мокрой химии» (аналитики: Т. А. Лахно, Т. И. Елизарьева, Н. И. Яковенко). Содержания элементов группы железа, бария и стронция определены спектральным методом (аналитик Т. И. Елизарьева).

2. Распределение глинистых миндалин в разрезах вулканических толщ

Глинистый материал стеклоподобного облика обнаружен в виде миндалин заполнения пор и каверн. Его окраска меняется от темно-болотной до буровато-черной. Материал имеет небольшую твердость и царапается ногтем. Излом поверхности миндалин раковистый.

Глинистый материал заполняет отдельные пустоты в пористокавернозной по-

дошве нижних лавовых потоков вулканической толщи и встречается в средней-верхней части разреза лавовых слоев. Пример разреза первого типа — толща г. Малахайта, расположенная на Китайских

гольцах в левом борту р. Самарта. Пример разреза второго типа — толща, залегающая в палеодолине севернее пос. Боксон, в междуречье Урда-Боксона и Мангат-Гола (рис. 1).

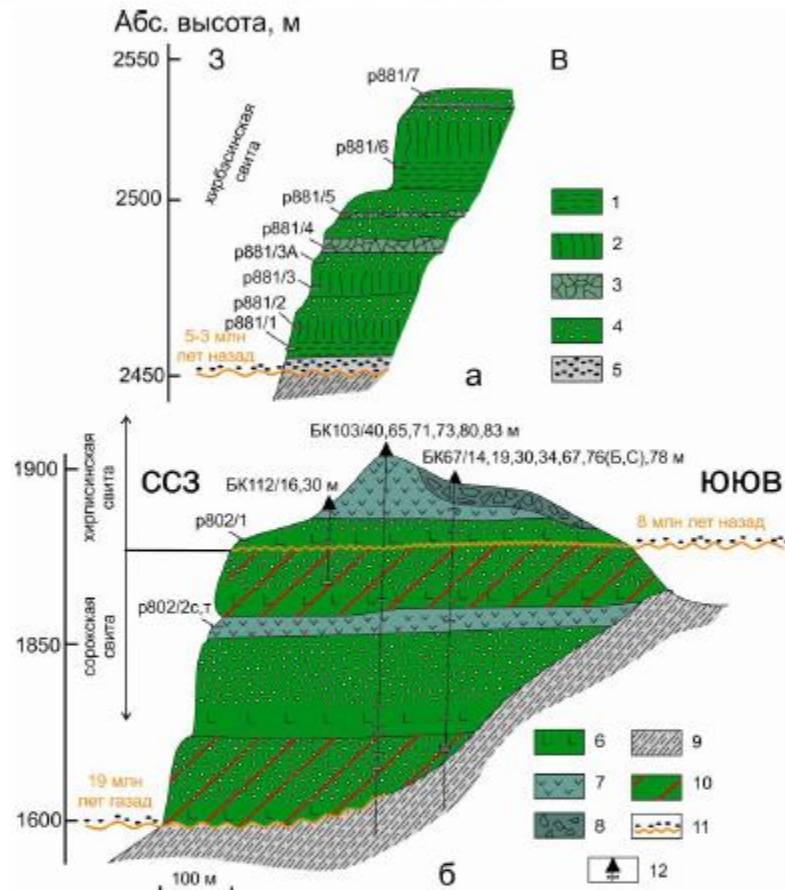


Рис. 1. Разрезы базальтов г. Малахайта (а) и междуречья Урда-Боксона и Мангат-Гола (б).

1–3 – типы отдельности в потоках шелочных оливиновых базальтов: 1 – толстошлипчатая, 2 – толстостолбчатая, 3 – крупноглыбовая; 4 – пористые базальты; 5 – валунные галечники; 6 – массивные оливиновые толенты; 7 – шелочные оливиновые базальты; 8 – элювий; 9 – породы фундамента; 10 – горизонты выветрельных пород с глинистыми миндалевидными; 11 – уровень эрозионного расчленения в процессе развития довоулканического и вулканического рельефа; 12 – скважины.

Fig. 1. Sections of the Malakhayta mountain (a) and Urdabokson-Mangatgol watershed (b).

1-3 – joints in alkaline olivine flow: 1 – thick plate, 2 – thick columnar, 3 – large block; 4 – porous basalts; 5 – boulder pebbles; 6 – massive olivine tholeiite; 7 – alkaline olivine basalt; 8 – eluvium; 9 – basement rock; 10 – horizon of weathered rocks with clay tonsils; 11 – level of erosional dissection in the development of pre-volcanic or volcanic terrain; 12 – well.

В основании лавовой толщи горы Малахайта находится 4-метровая линза валунных галечников. Перекрывающие ее слои темно-серых базальтов имеют мощность 76 м. Отдельные потоки состоят из нижней массивной части с небольшим количеством газовых пустот в подошве и более пористой кровли. Нижний 17-метровый поток обладает толстоплитчатой (0–5 м) и толстостолбчатой (5–13 м) отдельностью. Выше по разрезу мощность потоков последовательно уменьшается, исчезает плитчатая отдельность, затем толстостолбчатая отдельность сменяется крупноглыбовой. Снизу вверх последовательно возрастают отношения толщины пористой подкровельной части к массивной части потока и составляют (здесь и далее мощность слоев в м): 4:13, 5:3, 5:5, 6:1. Затем вновь залегает мощный (23-метровый) поток с плитчатой и толстостолбчатой отдельностью (отношение пористой части к массивной 3:20). Толщу венчают более пористые лавы с отношением пористой части к массивной 4:2. В целом по характеру смены пористости лавовых слоев в разрезе вулканической толщи выделяются две фазы вулканизма, начинавшихся излияниями крупных порций лав без отделения летучих компонентов с постепенным уменьшением продуктивности вулканизма и возрастанием пористости. Состав всех базальтовых потоков горы Малахайта *не-нормативный* (щелочно-оловин-базальтовый). Толща относится к плиоценовой хирбэсинской свите.

Глинистые миндалины отмечены только в подошве нижнего лавового потока этого разреза, зафиксированного плиоценовый эрозионный врез (5–3 млн лет назад). Другие новообразования аутогенных минералов не встречены. В глинистых миндалинах образуется периферическая смоляно-черная корочка толщиной 1–2 мм. В некоторых пустотах глинистый материал отсутствует, но корочка сохранилась, что может быть следствием частичного вымывания глинистого материала.

Севернее пос. Боксон скважинами вскрыта вулканическая толща мощностью

около 100 м. В ней переслаиваются лавы *hy*-нормативных и *ne*-нормативных (щелочных оливиновых) базальтов. Два нижних потока сложены сильно пористыми серыми *hy*-нормативными базальтами с отношениями пористой части к массивной 6:2 и 9:11. Выше них залегает 7-метровый поток массивных, местами полосчатых темно-серых щелочных оливиновых базальтов. Затем вновь следуют два потока существенно пористых *hy*-нормативных базальтов, перекрытых потоком массивных щелочных оливиновых базальтов. В потоках *hy*-нормативных базальтов отношения пористых частей к массивным составляют 10:7 и 5:3.

Четыре нижних потока боксонского разреза относятся к сорокской свите, два верхних потока — к хирбэсинской. Базальты сорокской свиты фиксировали уровень эрозионного расчленения территории (около 20–19 млн лет назад), базальты хирбэсинской свиты — уровень позднего миоцена (около 8 млн лет назад) (Рассказов, 1993). Потоки хирбэсинской свиты перекрыли лавовые слои сорокской свиты. При отсутствии линз осадочных отложений между свитами перерыв между ними фиксируется горизонтом выветрелых пород, получившим развитие в кровле сорокской свиты, наряду с горизонтом выветрелых пород в ее основании.

В самом нижнем потоке базальтов на темно-сером фоне, отчетливо выделяются светло-серые пятна выветрелых пород. Базальтовый поток кровли свиты претерпел более сильные гипергенные изменения с окислением железа. Его верхняя 6-метровая сильно пористая часть приобрела бордовую окраску.

В нижнем и верхнем горизонтах выветривания глинистый материал заполняет отдельные поры и каверны. В нижнем горизонте серых выветрелых базальтов глинистые миндалины редки. Их количество резко возрастает в верхнем горизонте бордовых пористых базальтов. Размеры каверн, полностью выполненных глинистым материалом, достигают 3 см. В крупных кавернах находятся зональные

минеральные выполнения с глинистой периферией и арагонитовой центральной частью. В таких миндалинах отмечаются сложные прорастания глинистого материала арагонитовыми кристаллами. Арагонит присутствует в базальтовых порах по всему разрезу.

3. Результаты аналитических исследований

По одной малахайтинской и двум боксонским миндалинам получены рентгеновские порошковые спектры. Согласно расчету и анализу всех трех рентгенограмм выделяется одна глинистая фаза триоктазидического типа группы смектита: $d_{(060)}=1,530\text{ \AA}$. При насыщении этиленгликолем материал разбухал. Отражение (001) увеличивалось от 14,03 \AA до 16,3 \AA . Хорошо видно отражение второго порядка 8,2 \AA . При нагревании до 580 °C происходила дегидратация со сжатием решетки, отражение (001) уменьшалось до 9,6 \AA .

Химические анализы материала из трех каверн бордового боксонского базальтового слоя показывают их неоднородный состав (таблица). Содержания магния, алюминия и железа приблизительно сопоставимы между собой. С увеличением концентраций железа заметно возрастают содержания P₂O₅, TiO₂, Ni, V, снижаются концентрации SiO₂. Миндаллина из подошвы малахайтинского разреза отличается низкими содержаниями железа, кобальта, никеля, ванадия и более высокими — магния, алюминия, титана, кремнезема. В них меньше потери при прокаливании.

Расчеты кристаллохимических формул на 20 атомов кислорода и 4 анионных группы (OH) показывают общее число ионов в шестерной координации, близкое к 6,00. Это свойственно триоктазидическим смектитам. Полученные значения изменяются в интервале 6,370–6,470. Отклонения в расчетных значениях от 6,00 свидетельствуют о присутствии в составе глинистого материала, наряду со смектитами, других минеральных фаз. В связи с

этим необходимо также отметить более высокие расчетные значения Al^{VI}, по сравнению с Al^{IV}, что не позволяет говорить о балансе зарядов. Подобные по составу и термическим эффектам (см. далее) глинистые образования были описаны в юрских осадках Северного Кавказа как «магнезиальные парагаллуазиты» (Сердюченко, 1953). Как и в сибирских глинистых миндалинах, баланс зарядов в кристаллохимической формуле этих образований не соблюдается (Рентгеновские..., 1965).

Рентгеноаморфные фазы в миндалинах выявляются при их исследованиях методом термического анализа. Из бордовых боксонских базальтов исследованы две миндаллины (термограммы 1 и 2, рис. 2) и из нижней части базальтового останца р. Диби — одна миндаллина (термограмма 3). Для сравнения исследовался материал зрелой коры выветривания (термограмма 4).

Термограмма первого образца характеризуется четырьмя эндотермическими и одним экзотермическим эффектами, которые указывают на присутствие, по крайней мере, трех фаз. Низкотемпературный эндозефект в интервале температур 40–120 °C довольно интенсивный, с потерей веса 11,88%, обусловлен выделением адсорбционной и межпакетной воды из смектита и сепиолита. Небольшой эндозефект 255–295 °C с потерей веса 1,75% вызван примесью гетита. Эндозефект в интервале температур 390–490 °C связан с выделением 4,2% конституционной воды и разрушением структуры минерала группы смектита. Небольшой эндозефект при температуре 810–830 °C с потерей веса 0,7%, резко переходящий в эндозефект при 865 °C, принадлежит сепиолиту. Экзозефект соответствует образованию новых фаз. Общая потеря веса образца составляет 18,53%.

Химический состав глинистых миндалин

Образец	1	2	3	4	5	6	7	8	9	10	11	12
SiO ₂ , мас. %	37,91	38,54	35,27	44,86	45,8	45,45	49,09	41,69	46,34	32,31	39,61	35,06
TiO ₂	0,18	0,16	0,29	2,46	2,50	2,53	2,38	0,34	2,59	1,69	1,69	0,99
Al ₂ O ₃	12,75	9,00	11,40	14,95	14,95	14,85	15,16	13,50	14,70	12,20	14,52	22,20
Fe ₂ O ₃	10,81	13,51	14,19	8,15	7,21	4,48	2,58	5,86	3,10	26,30	18,65	29,80
FeO	0,08	0,26	0,41	3,10	4,61	6,23	8,18	H.o.	8,56	1,89	1,61	4,33
MnO	0,55	0,09	0,15	0,13	0,16	0,11	0,14	0,05	0,13	0,20	0,22	1,00
MgO	11,30	12,83	11,51	8,02	8,16	8,22	7,25	14,56	9,02	1,96	2,54	1,83
CaO	2,75	3,00	3,00	8,50	6,27	8,33	8,43	2,90	8,35	2,50	1,63	1,80
Na ₂ O	0,08	0,10	0,05	2,17	2,61	2,86	3,50	0,08	3,55	0,45	1,03	0,45
K ₂ O	0,04	0,06	0,06	1,58	1,70	1,48	1,46	0,10	2,07	0,57	1,18	1,30
H ₂ O-	9,56	9,89	10,10	1,33	1,55	1,09	0,40	10,04	0,27	8,32	6,85	0,24
H ₂ O+	13,95	12,16	12,30	4,17	4,37	3,29	1,11	10,48	1,05	11,74	10,71	1,17
P ₂ O ₅	0,18	0,82	1,22	0,64	0,63	0,55	0,54	0,37	0,71	0,47	0,45	0,47
Сумма	100,14	100,42	99,95	100,06	100,52	99,47	100,22	99,97	100,44	100,51	100,69	100,64
Yt	22	20	23	14	13	7	8,8	H.o.	8	17	19	35
Rb	4	4	2,1	20	18	20	16	H.o.	18	9,4	46	45
Co	130	140	150	48	91	65	69	38	47	H.o.	H.o.	54
Ni	200	230	300	400	310	170	166	110	200	H.o.	H.o.	210
Sc	H.o.	H.o.	H.o.	23	25	20	22	10	15	H.o.	H.o.	26
V	62	57	93	170	190	200	185	35	170	H.o.	H.o.	220
Cr	H.o.	H.o.	H.o.	200	250	200	170	H.o.	180	H.o.	H.o.	150
Ba	130	H.o.	H.o.	590	220	290	420	H.o.	260	H.o.	H.o.	200
Sr	H.o.	H.o.	H.o.	700	480	780	724	H.o.	510	H.o.	H.o.	420

Примечание. 1–3 — миндалины из бордового базальтового слоя боксонского разреза; 4 — вмещающая порода (обр. БК67/30); 5–6 — здесь же серые выветрелые базальты с миндалинами (обр. БК103/80,83); 7 — среднее 20 анализов неизмененных базальтов р. Боксон; 8 — миндалина из подошвы щелочно-оливин-базальтового потока г. Малахайта; 9 — плотная плитчатая неизмененная часть потока, образец р88I/1; 10–11 — окристая глина коры выветривания по пористым базальтам р. Боксон, образцы 273/24 и 271/41; 12 — оплавленные аргиллиты западнее оз. Саган-Нур, образец р822. H.o. — не обнаружено. Пределы обнаружения: Sc — 10 мкг/г, Cr — 40 мкг/г, Sr — 80 мкг/г.

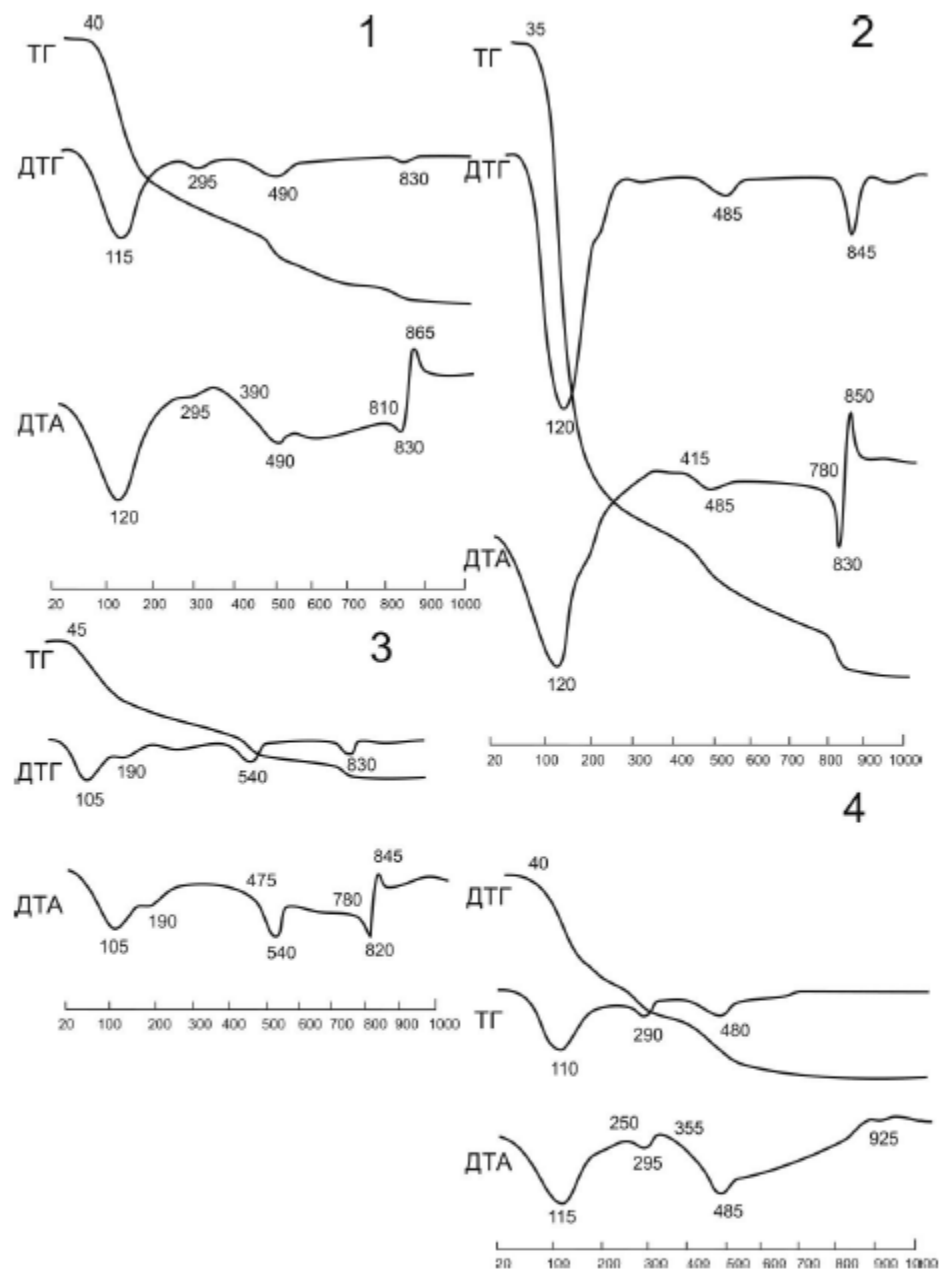


Рис. 2. Термограммы глинистого материала.

1–2 – две минидалины из бордовых боксонских базальтов; 3 – минидалина из подошвы базальтового потока р. Диби; 4 – зрелая кора выветривания (район пос. Боксон).

Fig. 2. Thermograms of clay material.

1–2 – two tonsils from the bordeaux Bokson basalts; 3 – the one from the foot of the Dibi River basalt flow; 4 – mature weathering crust in the Bokson area.

Термограмма второго образца из бордовых боксонских базальтов в общем подобна термограмме первого образца. Низкотемпературный эндозефект 30–120 °С более интенсивный, с небольшим перегибом в высокотемпературной части, связан с большой потерей веса (17,3 %). Гетитовый эндозефект отсутствует. Эндозефект 415–485 °С небольшой, пологий, с выделением конституционной воды (2,83 %). Сепиолитовые эндо- и экзозефекты более выразительны. Эндозефект асимметричной формы протекает в узком температурном интервале 780–830 °С с потерей веса 1,5 %, экзозефект — при 850 °С. В прокаленном материале (до 1000 °С) на рентгеновских порошковых определены новообразованные энстатитовые и гематитовые фазы. Общая потеря веса по сравнению с первым образцом увеличивается (до 21,63 %). На основании термограммы можно сделать вывод об относительном увеличении в образце количества сепиолитовой фазы.

Образец миндалины из нижней части базальтового останца р. Диби по фазовому составу близок к первым двум образцам миндалин из бордовых боксонских базальтов, но имеет ряд особенностей. На фоне основного низкотемпературного эндозефекта 35–105 °С возникает дополнительный эндозефект 160–190 °С. Потеря веса, связанная с этими двумя эндозефектами, составляет 7,85 %. Эндозефект выделения конституционной воды и разрушения структуры (2,14 %) более четко выражен и смешен в сторону высоких температур (475–540 °С). Это, возможно, связано с увеличением содержания магния и уменьшением — железа (см. таблицу). Присутствуют принадлежащие сепиолиту эндозефект 750–820 °С с потерей веса 0,72 % и экзозефект 845 °С. Общая потеря веса — 18,53 %.

Термограмма четвертого образца (зрелая кора выветривания) характеризуется четко проявленными смеクトитовыми и гетитовыми эффектами и отсутствием сепиолитовых эффектов.

Низкотемпературный эндозефект в интервале 35–115 °С связан с небольшой потерей веса (7,66 %). Гетитовый эндозефект небольшой (в интервале 250–295 °С) с потерей веса 2 %. Эндозефект выделения конституционной воды — 4 % в интервале 355–485 °С. Эндозефект 890–925 °С слабый, нечеткий, без потери веса. Общая потеря веса образца коры выветривания по сравнению с образцами миндалин уменьшается до 13,66 %.

В целом по результатам термического анализа в составе миндалин диагностируются смектит и сепиолит. В боксонских миндалинах в качестве примеси появляется гетит. Последняя фаза присутствует, наряду со смектитом, в зрелой коре выветривания. Сепиолит в ней не обнаружен.

Неоднородный фазовый состав глинистых миндалин подтверждается изучением морфологии микрочастиц под электронным микроскопом.

В образце из горизонта бордовых боксонских базальтов выделяются три группы частиц: 1) мельчайшие (меньше 0,1 мкм) изометричные полупрозрачные чешуйки и их агрегаты; 2) очень плотные мелкие (меньше 0,1 мкм) округлые частицы с резкими краями; 3) аморфные корочки переменной толщины. Частицы первой группы могут относиться к сапониту, а их агрегаты — и к сапониту, и к монтмориллониту. Частицы второй и третьей групп, возможно, относятся к сепиолиту. Вид таких частичек охарактеризован в работах (Чухров, 1955; Рентгеновские..., 1965).

С образца была снята углеродная реплика. С поверхности обломка миндалины извлечены плотные мелкие (0,1–0,2 мкм) частицы прямоугольной формы. Подобные микрочастицы были определены в желваках гравелистых фосфоритов как апатитовые (Мирахмедов, 1987). Присутствие микроявления апатита не противоречат широкие вариации содержаний P_2O_5 в миндалинах (см. таблицу).

В малахайтинской глинистой миндалине, так же как в боксонской, присутствуют

мельчайшие (меньше 0,1 мкм) чешуйки и их агрегаты, которые представляют собой главную смектитовую фазу и β -сепиолит. Однако здесь появляется новая фаза — хлопьевидные агрегаты различной формы и размеров. При малой толщине просматривается их волосовидное строение, обычно свойственное коллоидам.

Исследование смоляно-черной каемки вокруг этой миндалины показало присутствие, наряду с морфологическими грушами частиц ее центральной части, еще трех груш частиц. Появляются трубочки длиной 1,5 мкм и менее и диаметром 0,1–0,4 мкм, похожие на описанные минеральные фазы группы галлуазит–метагаллуазит (Чухров, 1955). Другой новый тип микрочастиц — резко удлиненные (до 10 мкм) очень тонкие (меньше 0,1 мкм) иголочки, которые можно отнести либо к пальгортиту, либо к сепиолиту. Наконец, выделяется переходный тип микрочастиц между хлопьевидными агрегатами коллоидного типа и галлуазитовыми трубочками. В коллоидных агрегатах зарождаются тонкие пластинки. Такие же пластинки прикреплены к трубочкам, образуя на них как бы незавершенный верхний слой.

4. Обсуждение и заключение

Нижние части разрезов вулканических пород часто сложены измененными базальтами черного цвета, иногда анамезитовыми. В шлифах признаки вторичных изменений не устанавливаются. В образцах таких пород определяются высокие концентрации избыточного 40Ar неясного происхождения. Выявленные признаки явной инфильтрации водных растворов с привносом глинистых минералов свидетельствуют о вероятном скрытом распространении этого процесса. Внешне монолитные (но на самом деле тонкопористые) проницаемые базальты могут содержать глинистую минерализацию искажающую не только содержания радиогенного 40Ar , но и концентрации компонентов первичного состава вулканических пород, содержащихся в привнесенных глинистых минералах.

На примере приведенного боксонского разреза ясно, что эффекты инфильтрационного проникновения глин в проницаемый

базальтовый субстрат могут проявиться и в вышележащих слоях, если в процессе затопления территории лавами базис эрозии становится выше и речными долинами расчленяют только верхние лавовые слои. Уровень распространения гипергенных процессов с инфильтрационным внедрением глин служит показателем такого высокого положения базиса эрозии.

По сравнению с неизмененными базальтами, породы горизонтов с глинистыми миндалинами обладают повышенной окисленностью железа, обеднены кремнеземом, натрием, обогащены летучими компонентами, фосфором, рубидием и никелем. Наиболее существенные отличия от неизмененных пород по содержаниям этих компонентов дает химический состав бесструктурных глинистых продуктов выветривания базальтов. Они сопоставляются по составу со стеклом из оплавленных нижнеплиоценовых аргиллитов (горельников), образующих слой на поверхности останца озерных отложений западнее оз. Саган-Нур. В отличие от глин, в стекле содержится мало воды и других летучих компонентов и возрастают содержания алюминия, калия и марганца (см. таблицу). Глинистый материал прокаливался подобно глинистому материалу горельников, обнаруженных на Прикатской тектонической ступени Баргузинской впадины (Рассказов и др., 2016).

Сравнивая составы глинистых миндалин и базальтов (рис. 3), убеждаемся, что появление миндалин отражает общую направленность перераспределения компонентов в процессе гипергенных изменений пород. Вариации состава миндалин зависят от геологических условий образования глинистого материала.

Слабое выветривание приводит к локальному распространению миндалин, которые вымываются или претерпевают изменения при более поздних процессах образования арагонита. Фазовый состав миндалин смектит–сепиолитовый, появляются другие фазы (галлуазит, пальгортит).

Более интенсивное выветривание способствует увеличению концентраций глинистого материала в порах, образование которого

сменяется развитием арагонита. Состав глинистых миндалин в общем остается таким же, как при слабом выветривании. Изменяется компонентный состав фаз-примесей. Появляется гематит. Зрелая кора выветривания базальтов имеет смектит-гематитовый состав.

tonsils, 4 – mature weathering crust; 5 – clay tonsil; 6 – glass from melted sedimentary rock (see text).

5. Благодарности

Работа выполнена в Китайско-Российском исследовательском центре Удаданьчи-Байкал по новейшему вулканизму и окружающей среде, грант № Р162011012 и грант научно-исследовательского фонда Академии наук провинции Хэйлунцзян КНР (2016 г.) при частичном финансировании РФФИ, грант 17-05-00808.

Литература

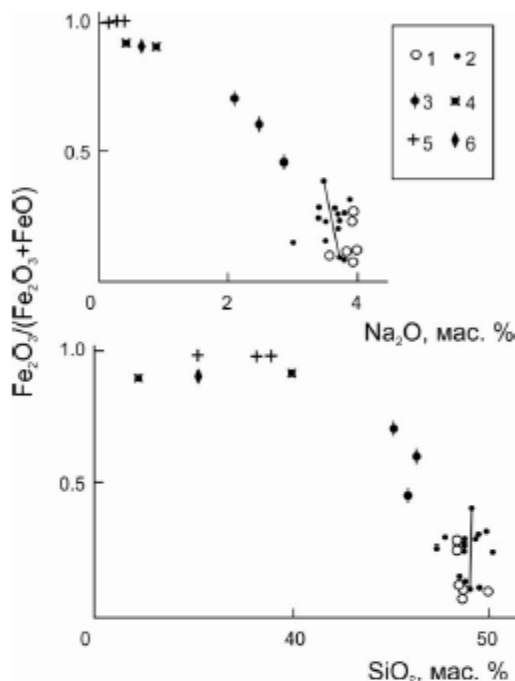


Рис. 3. Диаграммы $\text{Fe}_2\text{O}_3/(\text{Fe}_2\text{O}_3+\text{FeO})$ – SiO_2 , Na_2O в базальтах и глинистом материале.

1–2 – неизмененные вулканические породы: 1 – щелочной оливиновый базальт, 2 – *hy*-нормативный базальт (сплошной линией соединены составы светло-серой породы со слабой окисленностью железа и темно-серой более окисленной корочки выветривания); 3–4 – изменившиеся породы: 3 – базальт с глинистыми миндалинами, 4 – зрелая кора выветривания, 5 – глинистая миндалина; 6 – стекло из оплавленной осадочной породы (см. текст).

Fig. 3. Diagrams $\text{Fe}_2\text{O}_3/(\text{Fe}_2\text{O}_3+\text{FeO})$ vs. SiO_2 , Na_2O for basalts and clay material.

1–2 –unaltered volcanic rocks: 1 – alkaline olivine basalt, 2 – *hy*-normative basalt (solid line connects data points of a light gray rock with weak oxidation of iron and a dark-gray more oxidized weathering rim); 3–4 – altered rocks: 3 – host basalt of clay

tonsils, 4 – mature weathering crust; 5 – clay tonsil; 6 – glass from melted sedimentary rock (see text).

Волколаков Ф. К. О наличии гидрагилита в палеогеновой (?) коре выветривания Тункинской впадины / Ф. К. Волколаков, П. А. Хлыстов // Материалы по геологии и полезным ископаемым Бур. АССР. — Вып. П. Улан-Удэ, 1967. — С. 51–53.

Гинзбург И. И. Минералы древней коры выветривания Урала / И. И. Гинзбург, И. А. Рукавишникова. — М., 1951. — 715 с.

Мирахмедов М. Вещественный состав желваково-гравелистых фосфоритов / М. Мирахмедов // Зап. Узб. отдел. ВМО, 1987. — Вып. 40. — С. 134.

Пирокластика как показатель поднятия Икатского хребта относительно Баргузинской впадины Байкальской рифтовой зоны / С. В. Рассказов [и др.] // География и природные ресурсы, 2016. — № 5. — С. 117–127.

Рассказов С. В. Магматизм Байкальской рифтовой системы / С. В. Рассказов. — Новосибирск: ВО "Наука". Сибирская издательская фирма, 1993. — 288 с.

Рассказов С. В. О находках глинистых миндалин в неогеновых базальтах Восточного Саяна / С. В. Рассказов, Г. А. Тихонова, Н. В. Нартова // Прикладная минералогия Восточной Сибири. — Иркутск: Изд-во Иркут. ун-та, 1992. — С. 168–181.

Рентгеновские методы изучения и структура глинистых минералов / Под ред. Г. Брауна. — М., 1965. — 599 с.

Сердюченко Я. П. Магнезиальные парагаллиты и другие монтмориллонитовые минералы из юрских осадков на Северном Кавказе / Я. П.

Сердюченко // Вопр. петрографии и минералогии, 1953. — Т.2. М. — С. 100–122.

Термический анализ минералов и горных пород. — Л., 1974. — 399 с.

Чухров Ф. В. Коллоиды в земной коре / Ф. В. Чухров. — М., 1955. — 586 с.

Хлыстов П.А. Основные этапы мезокайнозойского выравнивания и корообразования

в Западном Забайкалье / П. А. Хлыстов, Л. В. Дехтарева // Мат-лы по геол. и полезн. ископ. Бурятской АССР. — Вып. XIII. — Улан-Удэ: Бурят. Кн. изд-во, 1970. — С. 50–57.

Differential thermal analysis.— Vol. 1. L. N.-Y.: Academic press. 1970.— 775 p.

Чувашова Ирина Сергеевна

кандидат геолого-минералогических наук

664003 Иркутск, ул. Ленина, д. 3,

Иркутский государственный университет, геологический факультет,
доцент

664033 Иркутск, ул. Лермонтова, д. 128, Институт земной коры СО РАН,
старший научный сотрудник

тел.: (3952) 51–16–59

Email: chuvashova@crust.irk.ru

Алокла Рияд

664003 Иркутск, ул. Ленина, д. 3,

Иркутский государственный университет, геологический факультет,
студент магистерской подготовки

Сирия, город Алеппо www.alepouniv.edu.sy

Университет Алеппо

преподаватель

Email: riyad.198762@gmail.com

Рассказов Сергей Васильевич

доктор геолого-минералогических наук, профессор

664003 Иркутск, ул. Ленина, д. 3,

Иркутский государственный университет, геологический факультет,
заведующий кафедрой динамической геологии

664033 Иркутск, ул. Лермонтова, д. 128, Институт земной коры СО РАН
заведующий лабораторией изотопии и геохронологии

тел.: (3952) 51–16–59

Email: rassk@crust.irk.ru